

Matlab 高级编程与工程应用 图像处理大作业实验报告

姓名	王禹
学号	2014011241
班级	无 48
日期	二〇一六年 八月 二十五日

目录

1	原创性声明	1
2	实验目的	1
3	基础知识	1
3.1	MATLAB 提供了图像处理工具箱, 请阅读并大致了解这些函数的基本功能	1
3.2	利用 MATLAB 提供的 Image file I/O 函数分别完成以下处理:	1
3.2.1	以测试图像的中心为圆心, 图像的长和宽中较小值的一半为半径画一个红色的圆;	1
3.2.2	将测试图像涂成国际象棋状的“黑白格”的样子, 其中“黑”即为黑色, “白”则意味着保留原图。	1
4	图像压缩编码	2
4.1	图像的预处理是将每个像素灰度值减去 128, 这个步骤是否可以在变换域进行?	2
4.2	请编程实现二维 DCT, 并和 MATLAB 自带的库函数 dct2 比较是否一致。	3
4.3	如果将 DCT 系数中右侧四列的系数全部置零, 逆变换后图像会发生什么变化? 选取一块图像证明你的结论。如果左边四列置零呢?	3
4.4	若对 DCT 系数分别转置、旋转 90 度和旋转 180 度操作 (rot90), 逆变换后恢复的图像有何变化?	4
4.5	如果认为差分编码是一个系统, 请绘出这个系统的频率响应, 说明他是怎样的滤波器。DC 系统先进行差分编码在进行熵编码, 说明他是一个怎样的系统。	5
4.6	DC 预测误差取值和 Category 值有何关系? 如何利用预测误差计算出其 Category?	6
4.7	你知道哪些实现 Zig-Zag 扫描方法? 请利用 MATLAB 强大功能设计一种最佳方法。	6
4.8	对测试图像分块、DCT 和量化, 将量化后的系数写成矩阵的形式, 其中每一列为一个块的 DCT 系数 Zig-Zag 扫描后形成的列矢量, 第一行为各个块儿的 DC 系数。	6
4.9	请实现 JPEG 编码, 输出为 DC 系数的码流、AC 系数的码流、图像高度和图像宽度, 将这四个变量写入 jpegcodes.mat 文件	7
4.9.1	分块、DCT、量化	7
4.9.2	DC 熵编码	7
4.10	计算压缩比	9
4.11	请实现 JPEG 解码, 输入是你生成的 jpegcodes.mat 文件。分别用客观 (PSNR) 和主观方法评价编解码效果如何。	9
4.12	将量化步长减小为原来一半, 重做编解码。同标准量化步长的情况比较压缩比和图像质量。	9
4.13	看电视时偶尔能看到美丽的雪花图像 (见 snow.mat), 请对其编解码。和测试图像的压缩比和图像质量进行比较, 并解释比较结果。	9
5	信息隐藏	9
5.1	实现本章介绍的空域隐藏方法和提取方法。验证其抗 JPEG 编码能力。	9
5.2	依次实现本章介绍的三种变换域信息隐藏方法和提取方法, 分析嵌密方法的隐蔽性以及嵌密后 JPEG 图像的质量变化和压缩比变化	9
5.3	请设计实现新的隐藏算法并分析其优缺点	10
6	人脸识别	10
6.1	所给资料 Faces 目录下包含从网络中截取的 28 张人脸, 试以其作为样本训练人脸标准 v	10
6.1.1	样本人脸大小不一致, 是否需要首先将图像调整为相同大小	10

6.1.2	假设 $L = 3, 4, 5$, 所得的三个 v 之间有什么关系?	10
6.2	设计一种从任意大小的图片中检测任意多张人脸的算法并编程实现 (输出图像在判定为人脸的位置加上红色的方框)。随意选取一张多人的照片, 对程序进行测试。尝试 L 分别取不同的值, 评价检测结果的区别。	10
6.3	对上述图像分别进行如下处理后	10
6.3.1	顺时针旋转 90 度	10
6.3.2	保持高度不变, 宽度变为原来的 2 倍	10
6.3.3	适当改变颜色	10
6.4	如果可以重新选择人脸样本的训练标准, 你觉得应该如何选取?	10
7	实验总结	11
A	代码清单	11

1 原创性声明

本实验完全采用原创设计代码，仅在自主设计 JPEG 信息隐藏的时候，参考了李思涵同学的思想。

2 实验目的

- 了解计算机存储和处理图像的基础知识；
- 掌握 JPEG 标准的基本原理；
- 变化域编码和量化的基本思想；
- MATLAB 处理矩阵和图像的常用命令；
- 在变换域进行信息隐藏的方法；
- 学习人脸检测的基本方法。

3 基础知识

3.1 MATLAB 提供了图像处理工具箱，请阅读并大致了解这些函数的基本功能

3.2 利用 MATLAB 提供的 Image file I/O 函数分别完成以下处理：

3.2.1 以测试图像的中心为圆心，图像的长和宽中较小值的一半为半径画一个红色的圆；

图像的读写 IO 主要依靠 MATLAB 自带的图像处理工具箱的 `imread` 和 `imwrite` 函数。将图像读入后，彩色图像为三维矩阵，灰度矩阵为二维矩阵。而本实验中，则是直接 `load` 已经准备好的 .mat 文件，获得图像矩阵。彩色图像的前两维分别为高和宽的像素值，第三维按照顺序为 RGB，矩阵的值为 0 255 的 RGB 三色的亮度值；灰度图像则没有第三维，只有一个灰度亮度值的二维矩阵。第一问直接获得了图像的矩阵后，找到距离中心小于所指定半径的所有点，将其 R 分量值调为 255，G 和 B 分量都调为 0，即可得到所需的图像，最终的结果如下图 Figure 1a 所示，而代码如 Listing 1 所示。

3.2.2 将测试图像涂成国际象棋状的“黑白格”的样子，其中“黑”即为黑色，“白”则意味着保留原图。

对于分割为棋盘，为了判断是涂黑还是保持原样，只需判断所要处理的格子的横纵坐标序列数之和的奇偶性即可。结果图见 Figure 1b, 具体代码见 Listing 2。



(a) 红圆



(b) 棋格

Figure 1: 题 3.1 结果图

```
1 clear all; close all;
2 load hall.mat
3 r = floor(min(size(hall_color(:, :, 1)))/2);
4 center = floor(size(hall_color)/2);
5 temp_hall = im2double(hall_color);
6 for i = center(1)-r+1:center(1)+r
7     for j = 1:size(hall_color(:, :, 1), 2)
8         if((i - center(1))^2 + (j - center(2))^2 <= r^2)
9             temp_hall(i, j, 1) = 255;
10            temp_hall(i, j, 2) = 0;
11            temp_hall(i, j, 3) = 0;
12        end
13    end
14 end
15
16 imshow(im2uint8(temp_hall));
17 imwrite(im2uint8(temp_hall), 'a.jpg');
```

Listing 1: 画红色圆代码

```
1 clear all; close all;
2 load hall.mat
3 len = size(hall_color);
4 temp_hall = im2double(hall_color);
5
6 for i = 1:len(1)/3
7     for j = 1:len(2)/3
8         if(mod(i+j, 2))
9             temp_hall(3*i-2:3*i, 3*j-2:3*j, 1:3) = 0;
10        end
11    end
12 end
13
14 imshow(im2uint8(temp_hall));
15 imwrite(im2uint8(temp_hall), 'b.jpg');
```

Listing 2: 涂棋格代码

4 图像压缩编码

4.1 图像的预处理是将每个像素灰度值减去 128，这个步骤是否可以在变换域进行？

由于变换域的第一个分量便是直流分量，因此这个步骤可以在变换域进行。块是 8×8 的像素块，他的 DC 分量基底为 $\frac{1}{8}$ ，因此将 DCT 变换后的直流分量减去 128 即可得到预处理图像。具体代码见 Listing 3。

根据结果来看，结果相差为 10^{-13} 数量级。

```
1 clear all; close all;
2 load hall.mat
3
4 part = hall_gray(11:18, 21:28);
5 a1 = dct2(part);
6 a1(1) = a1(1) - 128/(1/8);
7 a2 = dct2(part - 128);
```

```

8
9 ans = norm(a1-a2)
10
11 % ans = 3.5762e-13

```

Listing 3: 涂棋格代码

4.2 请编程实现二维 DCT，并和 MATLAB 自带的库函数 dct2 比较是否一致。

根据实验指导书前述的二维 DCT 原理，实现 DCT 的基底矩阵后，利用矩阵相乘的性质取得 dct 系数。经过对比后，范数相差仅为 10^{-12} 数量级，可能是由计算中的近似而产生的，因此可以认为自行实现的二维 DCT 变换和自带库函数 dct2 是一致的。程序代码参见 Listing 4。

```

1 clear all; close all;
2 load hall.mat
3
4 part = hall_gray(11:18,21:28);
5 N = 8;
6
7 D = zeros(N,N);
8 for i = 1:N
9     for j = 1:N
10         D(i,j) = cos(pi*(i-1)*(2*j-1)/(2*N));
11     end
12 end
13 D(1,:) = sqrt(1/2);
14 D = D * sqrt(2/N);
15
16 C_my = D*double(part)*D';
17 C = dct2(part);
18
19 norm(C_my-C)
20
21 % ans = 1.0899e-12

```

Listing 4: 涂棋格代码

4.3 如果将 DCT 系数中右侧四列的系数全部置零，逆变换后图像会发生什么变化？选取一块图像证明你的结论。如果左边四列置零呢？



(a) 二维 DCT 变换基底图像[1]

(b) 原始图像 (左)、右边四列置零 (中)、左边四列置零 (右)

Figure 2: 题 4.3 结果图

从 Figure 2a [1] 中可以看出 dct 系数右侧四列基底在横向上都有高频变化, 而左边四列在横向上有低频变化。因此当右侧四列置零时, 图像中的横向高频分量丢失, 反之当左侧四列置零时, 图像中横向低频分量丢失。

测试结果如图 Figure 2b所示。由于我所选择的图片在横向上没有高频变化, 主要集中在低频变化上。因此右侧四列原本的值即较小, 置零后对图片没有较大的影响, 而左侧四列置零后, 对图片的影响较大。如结果图所示, 左侧四列置零后, 整个图片都是黑蒙蒙的一片。

具体代码如 Listing 5所示。

```
1 clear all; close all;
2 load hall.mat
3
4 part = hall_gray(11:18,21:28);
5
6 C = dct2(part-uint8(128));
7
8 C1 = C; C2 = C;
9 C1(:,5:8) = 0;
10 C2(:,1:4) = 0;
11
12 rightzeropart = uint8(idct2(C1) + 128);
13 leftzeropart = uint8(idct2(C2) + 128);
14
15 imshow(part);
16 imwrite(part, 'origin.jpg');
17 figure();
18 imshow(rightzeropart);
19 imwrite(rightzeropart, 'rightzero.jpg');
20 figure();
21 imshow(leftzeropart);
22 imwrite(leftzeropart, 'leftzero.jpg')
```

Listing 5: 涂棋盘格代码

4.4 若对 DCT 系数分别转置、旋转 90 度和旋转 180 度操作 (rot90), 逆变换后恢复的图像有何变化?

若对 DCT 系数进行转置, 则横纵分量的系数发生互换, 因此恢复出来的原图像发生了转置。

若对 DCT 系数逆时针旋转 90°, 则大部分能量集中到左下角。而左下角系数代表的是横向低频变化、纵向高频变化, 因此恢复出来的图像应当在横向上是低频变化, 而纵向上呈现量化高频变化。

若对 DCT 系数逆时针旋转 180°, 则大部分能量集中到右下角。而右下角系数代表的横向纵向都是高频变化, 因此恢复出来的在横纵向上都有量化高频变化。

最终恢复出来的结果如图 Figure 3所示, 与理论匹配。具体的代码如 Listing 6所示。

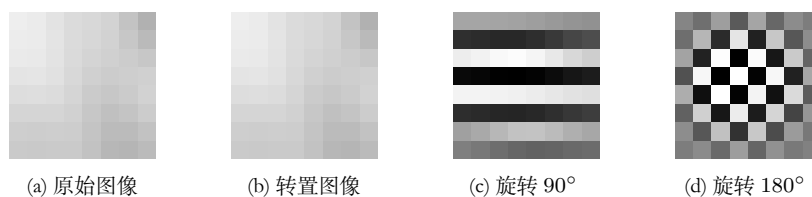


Figure 3: 题 4.4 结果图

```

1 clear all; close all;
2 load hall.mat
3
4 part = hall_gray(11:18,21:28);
5 C = dct2(part - uint8(128));
6
7 C0 = C'; C1 = rot90(C); C2 = rot90(C1);
8 transpose = uint8(idct2(C) + 128);
9 rightrot90 = uint8(idct2(C1) + 128);
10 rightrot180 = uint8(idct2(C2) + 128);
11
12 imshow(part);
13 imwrite(part, 'origin_rot.jpg');
14 figure();
15 imshow(transpose);
16 imwrite(transpose, 'transpose.jpg');
17 figure();
18 imshow(rightrot90);
19 imwrite(rightrot90, 'rightrot90.jpg');
20 figure();
21 imshow(rightrot180);
22 imwrite(rightrot180, 'rightrot180.jpg');

```

Listing 6: 涂棋格代码

4.5 如果认为差分编码是一个系统，请绘出这个系统的频率响应，说明他是怎样的滤波器。DC 系统先进行差分编码在进行熵编码，说明他是一个怎样的系统。

不考虑初值，差分方程为：

$$\hat{c}_D(n) = c_D(n-1) - c_D(n)$$

即 $A = [1], B = [-1 \ 1]$ ，直接使用 MATLAB 的 freqz 函数即可画出频率响应，即 Figure 4。代码如下 Listing 7 所示。

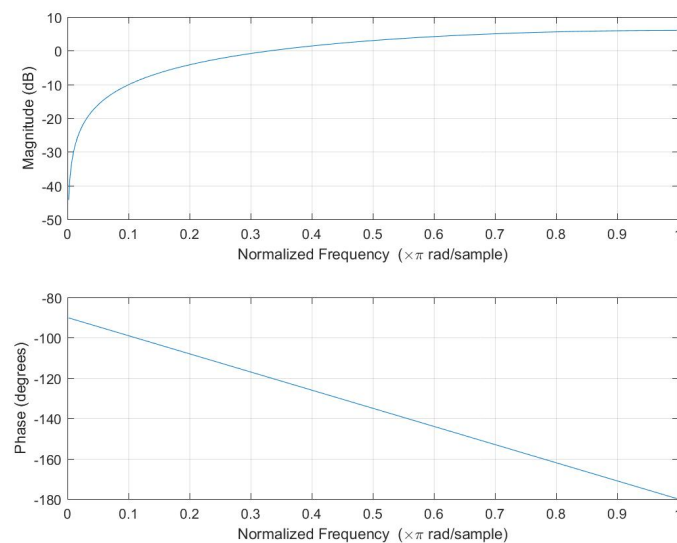


Figure 4: 频率响应


```

1 freqz([ -1 1], 1);
2 saveas(gca, 'frequency_plot.jpg');

```

Listing 7: 频率响应代码

因此这是一个高通系统。而 DC 系统先进行差分编码再进行熵编码说明 DC 系统的低频分量较多，故经过系统后能量会有很大的衰减，从而实现信息压缩。

4.6 DC 预测误差取值和 Category 值有何关系？如何利用预测误差计算出其 Category？

从表中不难观察到，DC 误差的取值所对应的二进制长度即为 Category 值。用数学表达式表述为：

$$Category = \text{ceil}(\log_2(|value| + 1))$$

4.7 你知道哪些实现 Zig-Zag 扫描方法？请利用 MATLAB 强大功能设计一种最佳方法。

共有两种方法：

第一种方法是知己将表格制作好，然后直接存在 MATLAB 中。这种方法需要自己实现编写好已知位数的 zig-zag 顺序列表，较为笨拙，但是实际程序运行时效率较高。本实验中采用的便是这种方法，但是效率较高。具体代码见 Listing 8。

```

1 function index = zigzag(r)
2     if r ~= 8
3         error([' Please input 8!!!! '])
4     end
5     index = [1;9;2;3;10;17;25;18;11;4;5;12;19;26;33;41;34;27;20;13;6;7;...
6             14;21;28;35;42;49;57;50;43;36;29;22;15;8;16;23;30;37;44;51;58;...
7             59;52;45;38;31;24;32;39;46;53;60;61;54;47;40;48;55;62;63;56;64];

```

Listing 8: zigzag 代码

第二种方法是设置较为复杂的边界条件，每次碰到边界则横移转向/数移转向。这样的方法可以方便的生成任意尺寸的 zig-zag 序列，但是每次生成一次序列所需的时间较长，效率较低。因此我采用的是前一种 zig-zag 生产方法。

4.8 对测试图像分块、DCT 和量化，将量化后的系数写成矩阵的形式，其中每一列为一个块的 DCT 系数 Zig-Zag 扫描后形成的列矢量，第一行为各个块儿的 DC 系数。

有了上述的 Zig-Zag 列后，可以很容易的将 DCT 系数按顺序变为一个列向量，然后放入矩阵中，代码清单 Listing 10 中的代码可以实现这个目的。

```

1 clear all; close all;
2
3 load hall.mat;
4 load JpegCoeff.mat;
5
6 hwlcn = size(hall_gray);
7 newhwlcn = ceil(hwlcn/8)*8;
8 newimg = zeros(newhwlcn);
9
10 newimg(1:hwlcn(1),1:hwlcn(2)) = hall_gray;

```

```

11 if(hwlen(1) < newhwlen(1))
12     newimg(hwlen(1)+1:newhwlen(1),:) = hall_gray(hwlen(1),:);
13 end
14 if(hwlen(2) < newhwlen(2))
15     newimg(:,hwlen(2)+1:newhwlen(2)) = hall_gray(:,hwlen(2));
16 end
17
18 coef = zeros(64,newhwlen(1)*newhwlen(2)/64);
19
20 for i = 1:newhwlen(1)/8
21     for j = 1:newhwlen(2)/8
22         c = dct2(newimg(i:i+7,j:j+7)-128);
23         c = round(c ./ QTAB);
24         coef(:,(i-1)*8+j) = c(zigzag(8));
25     end
26 end

```

Listing 9: coef 矩阵代码

4.9 请实现 JPEG 编码，输出为 DC 系数的码流、AC 系数的码流、图像高度和图像宽度，将这四个变量写入 jpegcodes.mat 文件

为实现 JPEG 编码需要按照分块、DCT、量化、熵编码的顺序进行编码。

4.9.1 分块、DCT、量化

为了实现分块，需要原图像的宽和高的像素数目都为 8 的倍数。本大作业使用的 hall_gray 的宽高都恰为 8 的倍数，若宽高不为 8 的倍数时，将其扩展到离他最近的 8 的倍数的宽高。新增的像素点用与其相邻的左侧的像素点或上侧的像素点填充。

获得新的图像后，便可以进行 8×8 的分块了与 DCT 变换了。修改图片像素尺寸的代码见 Listing 10 10-20 行。

而获得了 8×8 的分块后便可以直接进行 DCT 变换。为了实现量化，使用的是 ./ 的运算，之后使用 zigzag(8) 的序列，将其放入矩阵中。这部分代码见 Listing 10 20-26 行。

4.9.2 DC 熵编码

DC 系数即为 coef 矩阵的第一行。首先我们要对这一行系数做一个差分处理，从而消除低频分量达到压缩的目的。差分部分的代码见 Listing 10 30-36 行。差分处理完成后将

```

1 clear all; close all;
2
3 load hall.mat;
4 load JpegCoeff.mat;
5
6 hwlen = size(hall_gray);
7 newhwlen = ceil(hwlen/8)*8;
8 newimg = zeros(newhwlen);
9
10 newimg(1:hwlen(1),1:hwlen(2)) = hall_gray;
11 if(hwlen(1) < newhwlen(1))
12     newimg(hwlen(1)+1:newhwlen(1),:) = hall_gray(hwlen(1),:);
13 end
14 if(hwlen(2) < newhwlen(2))

```

```

15     newimg(:,hwlen(2)+1:newhwen(2)) = hall_gray(:,hwlen(2));
16 end
17
18 coef = zeros(64,newhwen(1)*newhwen(2)/64);
19
20 for i = 1:newhwen(1)/8
21     for j = 1:newhwen(2)/8
22         c = dct2(newimg(8*i-7:8*i,8*j-7:8*j)-128);
23         c = round(c ./ QTAB);
24         coef(:,(i-1)*newhwen(2)/8+j) = c(zigzag(8));
25     end
26 end
27
28 %% DC coef
29
30 DC = coef(1,:);
31 % DC = [10 8 60];
32 Diff = zeros(size(DC));
33 Diff(1) = DC(1);
34 for i = 2:length(Diff)
35     Diff(i) = DC(i-1) - DC(i);
36 end
37 Dc_coef = [];
38 Category_DC = ceil(log2(abs(Diff)+1));
39 for i = 1:length(Category_DC)
40     huff = DCTAB(Category_DC(i)+1, 2:1+DCTAB(Category_DC(i)+1,1));
41     dc = Diff(i);
42     if (dc==0)
43         Dc_coef = [Dc_coef huff];
44     else
45         amp = dec2bin(abs(dc)) - '0';
46         if (dc<0)
47             amp = 1 - amp;
48         end
49         Dc_coef = [Dc_coef huff amp];
50     end
51 end
52
53 %% AC coef
54 AC = coef(2:64,:);
55 % AC = [10 3 0 0 2 zeros(1,20) 1 zeros(1,37)]';
56 Ac_coef = [];
57
58 for i = 1:size(AC,2);
59     currentAC = AC(:,i);
60     pos = find(currentAC~=0);
61     if(~isempty(pos))
62         previous = 1;
63         for j = 1:length(pos)
64             ac = currentAC(pos(j));
65             run = pos(j)-previous;
66             while (run>15)
67                 Ac_coef = [Ac_coef 1 1 1 1 1 1 1 1 0 0 1];
68                 run = run - 16;
69             end
70             amp = dec2bin(abs(ac)) - '0';
71             if (ac<0)

```

```
72         amp = 1 - amp;
73     end
74     Huff = ACTAB(run*10+length(amp),4:ACTAB(run*10+length(amp),3)+3);
75     Ac_coef = [Ac_coef Huff amp];
76     previous = pos(j) + 1;
77 end
78 end
79 Ac_coef = [Ac_coef 1 0 1 0];
80 end
81 height = newhwen(1);
82 width = newhwen(2);
83 save jpegcodes.mat Dc_coef Ac_coef height width
```

Listing 10: JPEG 编码代码

4.10 计算压缩比

asdasd

4.11 请实现 JPEG 解码，输入是你生成的 jpegcodes.mat 文件。分别用客观 (PSNR) 和主观方法评价编解码效果如何。

asdasd

4.12 将量化步长减小为原来一半，重做编解码。同标准量化步长的情况比较压缩比和图像质量。

asdasd

4.13 看电视时偶尔能看到美丽的雪花图像 (见 snow.mat)，请对其编解码。和测试图像的压缩比和图像质量进行比较，并解释比较结果。

asdasd

5 信息隐藏

5.1 实现本章介绍的空域隐藏方法和提取方法。验证其抗 JPEG 编码能力。

asdasd

ALU 部分没有经过硬件调试，由于是组合逻辑电路，仿真通过后，便不会产生较大的硬件错误。本部分是一次编写代码便成功通过，且直接嵌入到处理器中进行使用，故本部分无硬件调试过程。

5.2 依次实现本章介绍的三种变换域信息隐藏方法和提取方法，分析嵌密方法的隐蔽性以及嵌密后 JPEG 图像的质量变化和压缩比变化

MIPS 单周期处理器在最开始用 Vivado 进行综合与实现时，总是显示不能满足时序要求。我刚开始不太明白如何处理这一错误，仍然直接将 bit 文件烧录进 FPGA 中，结果是 CPU 不能正常的工作。之后了解到，我们的 FPGA 的硬件性能有限，不能够直接接入 100M 的时钟晶振作为单周期处理器的主频工作。在将

100M 的晶振经过二分频得到的 50M 时钟接入后, Vivado 便能够正常的进行综合与仿真而不再报错了。由于最终验收时, 不考虑单周期处理器的最高主频, 因此也没有对单周期处理器的主频最高性能进行测试。

单周期处理器另一个调试的问题在控制模块的编写上。由于控制模块所控制的信号太多, 信号名称的大小写最开始在各个模块中没能匹配, 导致硬件实现出错。在后续的调试中, 发现了这个问题所在, 然后将其修复。

其他的模块没有太多的问题需要硬件调试。

5.3 请设计实现新的隐藏算法并分析其优缺点

流水线的硬件调试给予我们的最大启示是, verilog 语言对每个模块都有固定的写法需要遵守, 尤其是逻辑判断。具体情况是: 单个条件若是一位信号则直接用该信号 (或取反), 若是多位信号则用 == 或 != 目标值; 条件之间的运算用按位或、与。流水线硬件调试一开始到处报错, 与 ModelSim 调试结果大相径庭。按照上述原则修改之后便一次性通过了。

6 人脸识别

6.1 所给资料 Faces 目录下包含从网络中截取的 28 张人脸, 试以其作为样本训练人脸标准 v

6.1.1 样本人脸大小不一致, 是否需要首先将图像调整为相同大小

asdasd

6.1.2 假设 $L = 3, 4, 5$, 所得的三个 v 之间有什么关系?

asdasd

6.2 设计一种从任意大小的图片中检测任意多张人脸的算法并编程实现 (输出图像在判定为人脸的位置加上红色的方框)。随意选取一张多人的照片, 对程序进行测试。尝试 L 分别取不同的值, 评价检测结果的区别。

asdasd

6.3 对上述图像分别进行如下处理后

6.3.1 顺时针旋转 90 度

asdasd

6.3.2 保持高度不变, 宽度变为原来的 2 倍

asdasd

6.3.3 适当改变颜色

asdasd

6.4 如果可以重新选择人脸样本的训练标准, 你觉得应该如何选取?

asdasd

7 实验总结

以下为我组三名同学的实验总结：

通过本次实验，我将在数字逻辑与处理器基础理论课上学习到的 MIPS 周期处理器理论，在 FPGA 上用硬件将其实现。我在小组实现 CPU 中，负责的是 ALU 和单周期 MIPS 的编写。

对于具体的编写实现，ALU 部分的编写方式和理论课有所不同。在理论课上，我并没有将 ALU 分为四个部分分别实现，而是将整体进行编写。而实验指导书要求将 ALU 分四个部分。在实现层次编写后，我认为这样的编写方式，使得整体的结构更为清晰。而对于四个部分的具体代码，我觉得最有趣的部分应该也是比较器的代码。因为比较器内部没有实际的使用比较逻辑判断符，而是直接使用由加法器计算产生的结构进行判断与比较。这是我觉得 ALU 编写过程中最有趣的部分。

而在单周期处理器的实现中，大部分内容和理论课所讲授的一致。但是外设的编写是一大难点。最开始并没有理解外设的具体实现方法，后来经过慢慢的摸索和理解，了解到外设可以认为是一段新的内存，用以存储和外部部件相关的数据，包括要显示的数据或者是控制状态的数据。通过汇编程序对这部分内存进行访问，从而实现与外设的交互。这样慢慢的理解了外设的地位与 RAM 是等价的，应当放在与 RAM 并行的位置进行实现。而单周期的实现中另一大难点在于对于 IRQ 信号的理解。IRQ 信号是由外设模块产生，作用于控制模块，从而使得处理器进入内核态进行处理。这对单周期处理器而言，并没有太大的难点，但对于流水线处理器而言，处理 IRQ 信号至关重要。

总而言之，本次实验对我来说，收获颇丰，第一次实现了自己编写的 CPU，还是一个非常有意义的事。不过想对老师提一点建议，就是 CPU 性能的衡量标准是 CPU **执行时间 = 指令数 × CPI × 时钟周期** (1/主频)。因此，并不能单单根据主频来判断 CPU 的性能，因为不同实现方法，对 CPI 以及程序的行数的影响也会比较大，应当根据三者的综合来进行判断。

References

[1] WikiPedia. Discrete cosine transform. WikiPedia, the Free Encyclopedia, 2016.

A 代码清单

根目录：/source

1. /3.1

2. /3.2